

условия нормировки  $\varepsilon = 1$  дают зависимость для критического значения  $k_*^2$  стержня, содержащего несовершенство.

Теперь предположим, что стержень, рассмотренный в качестве примера в п. 2, содержит в точке  $x = \bar{x}$  дефект, не зависящий от прогиба, и пусть  $\psi_0(x) = \delta(x - \bar{x})$  — дельта-функция,  $\psi_i(x) = 0$ ,  $i > 0$ .

После подстановки выражения для  $\psi_0(x)$  в (3.7) и проведения расчетов при  $\bar{x} = 1,5$ ,  $a = 0,5$  найдены зависимости  $\mu = \mu(\varepsilon, \omega/\varepsilon)$ , изображенные на рис. 4, и  $\mu = \mu(\varepsilon; 0,5/\varepsilon)$ ,  $\mu = \mu(\varepsilon; -0,5/\varepsilon)$ , приведенные на рис. 2 (кривые 2, 3 соответственно).

На рис. 5 представлены результаты расчета критического значения  $k_*^2 = k_*^2(\bar{x}, a)$  по формуле (3.7) при  $\omega = 1$ . При  $\bar{x} = 0$ ,  $\bar{x} = \pi$  расчеты по формулам (2.13), (3.7) совпадают.

В заключение следует отметить, что при рассмотрении теории устойчивости эйлерова стержня как раздела прочностных расчетов в машиностроении, особенно в случаях конструкций из тонкостенных стержней, для которых предельные нагрузки лимитируются из соображений устойчивости, результаты нелинейного анализа не лишены практической ценности.

#### ЛИТЕРАТУРА

1. Хатсон В., Пим Дж. Приложения функционального анализа и теории операторов.— М.: Мир, 1983.
2. Функциональный анализ (сер. Справ. мат. б-ка)/Под ред. С. Г. Крейна.— М.: Наука, 1972.
3. Теория ветвления и нелинейные задачи на собственные значения/Под ред. Дж. Б. Келлера и С. Антмана.— М.: Мир, 1974.
4. Йосс Ж., Джозеф Д. Элементарная теория устойчивости и бифуркаций.— М.: Мир, 1983.
5. Гилмор Р. Прикладная теория катастроф.— М.: Мир, 1984.— Т. 1.
6. Вольмир А. С. Устойчивость деформируемых систем.— М.: Наука, 1967.
7. Алфутов Н. А. Основы расчета на устойчивость упругих систем (сер. Б-ка расчетчика).— М.: Машиностроение, 1978.
8. Вольмир А. С. Устойчивость упругих систем.— М.: Физматгиз, 1963.
9. Камке Э. Справочник по обыкновенным дифференциальным уравнениям.— М.: Физматгиз, 1961.
10. Демидович Б. П., Марон М. А., Шувалова Э. З. Численные методы анализа.— М.: Физматгиз, 1963.
11. Марсден Дж., Мак-Кракен М. Бифуркация рождения цикла и ее приложение.— М.: Мир, 1980.

а. Бийск

Поступила 25/XI 1991 г.,  
в окончательном варианте — 8/IV 1992 г.

УДК 539.3

Т. А. Боднарь

#### ОБ УСТОЙЧИВОСТИ ЭЙЛЕРОВА СТЕРЖНЯ

1. В [1] изучена устойчивость решений нелинейного уравнения Эйлера

$$(1.1) \quad \frac{d^2 y}{dx^2} + k^2 \rho(x) y \left( 1 - \left( \frac{dy}{dx} \right)^{2\nu} \right) = 0, \quad k^2 = \frac{Pl^2}{EI\pi^2}$$

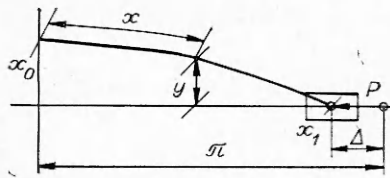
при условии, что собственные значения уравнения

$$(1.2) \quad \frac{d^2 y}{dx^2} + k^2 \rho(x) y = 0$$

простые; тем самым из анализа выпал целый класс задач, для которых собственные значения уравнения (1.2) двукратны.

Продолжая анализ, проведенный в [1], рассмотрим уравнение (1.1) при  $\rho(x) = x^\nu$ ,  $-\infty < \nu < \infty$  и граничных условиях

$$(1.3) \quad y(x_1) = 0, \quad dy(x_0)/dx = 0,$$



Р и с. 1

справедливых для стержня, изображенного на рис. 1. При данной постановке задачи вся длина стержня неизвестна, поэтому буквой  $l$  обозначена длина, соответствующая безразмерному отрезку, ограниченному сечениями  $x_0, x_1$ ; другие обозначения, использованные в (1.1) — (1.3), общеприняты или приведены на рис. 1.

Решение рассматриваемой задачи известно лишь в линейной постановке [2], при этом следует обратить внимание, что принятые в этой работе и ряде других как само собой разумеющиеся допущения о том, что стержень, шарнирно закрепленный на одном конце и находящийся под воздействием силы  $P$ , приложенной к нему с другого конца, делится точкой, в которой  $dy/dx = 0$ , на равные отрезки и что он симметричен по своей конфигурации относительно этой точки, справедливы лишь для стержней с постоянными поперечными сечениями  $\nu = 0$ .

В общем случае  $\nu \neq 0$  точка  $x_0$ , в которой  $dy/dx = 0$ , делит стержень на неравные отрезки, соотношение между которыми неизвестно и, следовательно, может быть определено из решения. При этом закон  $\rho(x) = x^\nu$  должен быть неизменным для всего стержня, или в противном случае данная задача сводится к рассмотренной в [1].

Анализ устойчивости решений нелинейного уравнения (1.1) с условиями (1.3) будет проводиться методом проекций [3] с учетом двумерности нуль-пространства оператора

$$L_k = d^2/dx^2 + k^2 x^\nu.$$

2. После разложения функции  $k^2 x^\nu y (1 - (dy/dx)^2)^{0.5}$  в ряд по степеням  $y, dy/dx$  в точке  $(y, dy/dx) = (0, 0)$  уравнение (1.1) приобретает вид

$$(2.1) \quad L_k y + \sum_{n=2}^{\infty} c_n y (dy/dx)^{n-1} = 0,$$

где

$$c_n = \frac{1}{n!} \frac{\partial^n}{\partial y \partial (dy/dx)^{n-1}} (k^2 x^\nu y (1 - (dy/dx)^2)^{0.5}).$$

Фундаментальная система решений уравнения  $L_k y = 0$  состоит из функций [4]

$$\varphi_{1i}(x) = \begin{cases} \sqrt{x} I_\omega(2\lambda_i \omega x^{1/2\omega}), & -\infty < \nu < -2, -2 < \nu < \infty, \\ \sqrt{x} \cos(\lambda_i \ln x), & \nu = -2, \end{cases}$$

$$\varphi_{2i}(x) = \begin{cases} \sqrt{x} N_\omega(2\lambda_i \omega x^{1/2\omega}), & -\infty < \nu < -2, -2 < \nu < \infty, \\ \sqrt{x} \sin(\lambda_i \ln x), & \nu = -2. \end{cases}$$

Здесь  $\lambda_i - i$ -е собственное значение оператора  $L_k$ ;  $\omega = (\nu + 2)^{-1}$ ;  $I_\omega(x), N_\omega(x)$  — функции Бесселя первого и второго рода  $\omega$ -го порядка.

При  $-\infty < \nu < -2, -2 < \nu < \infty$  собственные значения  $\lambda_i$  ( $i = 1, 2, \dots$ ) являются решениями уравнения

$$\det|a_{ij}| = 0,$$

$$\text{где } a_{11} = \sqrt{x_1} I_\omega(2\omega\lambda x_1^{1/2\omega}); a_{12} = \sqrt{x_1} N_\omega(2\omega\lambda x_1^{1/2\omega}); a_{21} = \frac{1}{\sqrt{x_0}} I_\omega(2\omega\lambda x_0^{1/2\omega}) - \\ - \lambda x_0^{(1-\omega)/2\omega} I_{\omega+1}(2\omega\lambda x_0^{1/2\omega}); a_{22} = \frac{1}{\sqrt{x_0}} N_\omega(2\omega\lambda x_0^{1/2\omega}) - \lambda x_0^{(1-\omega)/2\omega} \times$$

$$\times N_{\omega+1}(2\omega\lambda x_0^{1/2\omega}),$$

а при  $\nu = -2$  — уравнения  $\text{tg}(\lambda \ln(x_1/x_0)) = 2\lambda$ .

Наименьшее собственное значение  $\lambda_1$  позволяет записать условие устойчивости решения уравнения  $L_k y = 0$  при условиях (1.3) в виде

$$(2.2) \quad \begin{aligned} \mu &= k^2 - \lambda_1^2 \leq 0, & -\infty < \nu < -2, & -2 < \nu < \infty, \\ \mu &= k^2 - \lambda_1^2 - 0,25 \leq 0, & \nu &= -2. \end{aligned}$$

Последнее условие (2.2) хорошо известно [2]. Знак равенства в (2.2) соответствует границе устойчивости и определяет критическое значение  $k_*^2$ , полученное в линейном приближении. В силу соотношения (2.2) возможна формальная замена оператора  $L_k$  оператором  $L_\mu = d^2/dx^2 + (\mu + \lambda_1^2)x^\nu$ , ведущая к более удобным обозначениям.

Прежде чем приступить к решению (1.1), установим, что пространство функций  $\varphi_{1i}(x), \varphi_{2i}(x)$  ( $i = 1, 2, \dots$ ), интегрируемых на интервале  $(x_0, x_1)$  с квадратом, является гильбертовым со скалярным произведением  $\langle \varphi_{ki}(x), \varphi_{nj}^*(x) \rangle$  ( $\varphi_{ij}^*(x)$  — функция, сопряженная с функцией  $\varphi_{ij}(x)$  относительно скалярного произведения).

Поскольку функции  $\varphi_{kj}(x)$  ( $k = 1, 2, j = 1, 2, \dots$ ) ортогональны на интервале  $(x_0, x_1)$  с весом  $x^\nu$ , то с точностью до постоянных множителей  $\varphi_{kj}^*(x) = x^\nu \varphi_{kj}(x)$  для всего интервала  $-\infty < \nu < \infty$ .

Теперь, определив амплитуду как проекцию функции  $y(x)$  на собственное подпространство, ассоциированное с сопряженными векторами  $\varphi_{11}^*(x), \varphi_{21}^*(x)$ ,  $\varepsilon = \langle y(x), y(x), (\varphi_{11}^*(x), \varphi_{21}^*(x)) \rangle$ , будем искать решение (2.1) в виде рядов

$$(2.3) \quad y(x) = \sum_{n=1}^{\infty} \frac{1}{n!} \varepsilon^n y_n(x), \quad \mu_n = \sum_{n=1}^{\infty} \frac{1}{n!} \varepsilon^n \mu_n.$$

После подстановки (2.3) в (2.1) и приравнивания совокупностей членов при одинаковых степенях  $\varepsilon$  до третьей степени включительно приходим к системе уравнений

$$(2.4) \quad L_0 y_1 = 0;$$

$$(2.5) \quad L_0 y_2 + 2\mu_1 \frac{\partial L_0}{\partial \mu} y_1 + 2\mathbf{B}(y_1, y_1) = 0;$$

$$(2.6) \quad L_0 y_3 + 3\mu_1 \frac{\partial L_0}{\partial \mu} y_2 + 6\mathbf{B}(y_1, y_2) + 3\mu_2 \frac{\partial L_0}{\partial \mu} y_1 + 6\mathbf{C}(y_1, y_1, y_1) = 0,$$

где  $\mathbf{B}(y_1, y_2)$ ,  $\mathbf{C}(y_1, y_2, y_3)$  — матричные дифференциальные операторы, определяемые как

$$\begin{aligned} \mathbf{B}(y_1, y_2) &= \frac{c_2 \lambda_1^2}{2} \left( y_1 \frac{dy_2}{dx} + y_2 \frac{dy_1}{dx} \right), \\ \mathbf{C}(y_1, y_2, y_3) &= \frac{c_3 \lambda_1^2}{3} \left( y_1 \frac{dy_2}{dx} \frac{dy_3}{dx} + y_2 \frac{dy_1}{dx} \frac{dy_3}{dx} + y_3 \frac{dy_1}{dx} \frac{dy_2}{dx} \right). \end{aligned}$$

Решением уравнения (2.4) является линейная комбинация функций  $\varphi_{11}(x), \varphi_{21}(x)$ ,  $y_1 = \varphi_{11}(x) + \sigma \varphi_{21}(x)$  ( $\sigma$  — множитель).

Уравнения (2.5), (2.6) разрешимы тогда и только тогда, когда для  $k = 1, 2$  выполняются условия

$$\langle L_0 y_2, \varphi_{k1}^*(x) \rangle = \langle L_0 y_3, \varphi_{k1}^*(x) \rangle = 0,$$

вытекающие из теоремы Фредгольма об альтернативе. С учетом этого после скалярного умножения (2.5), (2.6) на  $\varphi_{11}^*(x), \varphi_{21}^*(x)$  получим

$$\begin{aligned} \mu_1 \left\langle \frac{\partial L_0}{\partial \mu} y_1, \varphi_{k1}^*(x) \right\rangle + \langle \mathbf{B}(y_1, y_1), \varphi_{k1}^*(x) \rangle &= 0, \\ \mu_1 \left\langle \frac{\partial L_0}{\partial \mu} y_2, \varphi_{k1}^*(x) \right\rangle + 2 \langle \mathbf{B}(y_1, y_2), \varphi_{k1}^*(x) \rangle + \mu_2 \left\langle \frac{\partial L_0}{\partial \mu} y_1, \varphi_{k1}^*(x) \right\rangle + \\ + 2 \langle \mathbf{C}(y_1, y_1, y_1), \varphi_{k1}^*(x) \rangle &= 0, \quad k = 1, 2, \end{aligned}$$

откуда, учитывая, что  $c_2 = 0$  и, следовательно,  $\mu_1 = 0$ ,  $y_2 = 0$ , находим

$$(2.7) \quad \begin{aligned} \mu_2 \left\langle \frac{\partial L_0}{\partial \mu_1} y_1, \varphi_{11}^*(x) \right\rangle + 2 \langle C(y_1, y_1, y_1), \varphi_{11}^*(x) \rangle &= 0, \\ \mu_2 \left\langle \frac{\partial L_0}{\partial \mu_2} y_1, \varphi_{21}^*(x) \right\rangle + 2 \langle C(y_1, y_1, y_1), \varphi_{21}^*(x) \rangle &= 0. \end{aligned}$$

После подстановки выражения для  $y_1$  в (2.7) приходим к системе двух алгебраических уравнений

$$(2.8) \quad \begin{aligned} C_{13}\sigma^3 + C_{12}\sigma^2 + C_{11}\sigma + B_{12}\sigma\mu_2 + B_{11}\mu_2 + B_{10} &= 0, \\ C_{23}\sigma^3 + C_{22}\sigma^2 + C_{21}\sigma + B_{22}\sigma\mu_2 + B_{21}\mu_2 + B_{20} &= 0, \end{aligned}$$

где

$$\begin{aligned} C_{13} &= -\lambda_1^2 \langle x^v \varphi_{21}(x) (d\varphi_{21}(x)/dx)^2, \varphi_{11}^*(x) \rangle; \\ C_{12} &= -\lambda_1^2 \langle x^v (\varphi_{11}(x) (d\varphi_{21}(x)/dx)^2 + 2\varphi_{21}(x) d\varphi_{11}(x)/dx d\varphi_{21}(x)/dx), \varphi_{11}^*(x) \rangle; \\ C_{11} &= -\lambda_1^2 \langle x^v (2\varphi_{11}(x) d\varphi_{11}(x)/dx d\varphi_{21}(x)/dx + \varphi_{21}(x) (d\varphi_{11}(x)/dx)^2), \varphi_{11}^*(x) \rangle; \\ B_{12} &= \langle x^v \varphi_{21}(x), \varphi_{11}^*(x) \rangle; \\ B_{11} &= \langle x^v \varphi_{11}(x), \varphi_{11}^*(x) \rangle; \\ B_{10} &= -\lambda_1^2 \langle x^v \varphi_{11}(x) (d\varphi_{11}(x)/dx)^2, \varphi_{11}^*(x) \rangle; \\ C_{23} &= -\lambda_1^2 \langle x^v \varphi_{21}(x) (d\varphi_{21}(x)/dx)^2, \varphi_{21}^*(x) \rangle; \\ C_{22} &= -\lambda_1^2 \langle x^v (\varphi_{11}(x) (d\varphi_{21}(x)/dx)^2 + 2\varphi_{21}(x) d\varphi_{11}(x)/dx d\varphi_{21}(x)/dx), \varphi_{21}^*(x) \rangle; \\ C_{21} &= -\lambda_1^2 \langle x^v (2\varphi_{11}(x) d\varphi_{11}(x)/dx d\varphi_{21}(x)/dx + \varphi_{21}(x) (d\varphi_{11}(x)/dx)^2), \varphi_{21}^*(x) \rangle; \\ B_{22} &= \langle x^v \varphi_{21}(x), \varphi_{21}^*(x) \rangle; \\ B_{21} &= \langle x^v \varphi_{11}(x), \varphi_{21}^*(x) \rangle; \\ B_{20} &= -\lambda_1^2 \langle x^v \varphi_{11}(x) (d\varphi_{11}(x)/dx)^2, \varphi_{21}^*(x) \rangle. \end{aligned}$$

Следуя обычной процедуре вычисления устойчивости [3], определим квадратичную форму системы (2.8), воспользовавшись методом последовательных приближений. В качестве первого приближения можно взять решение линеаризованной системы (2.8):

$$\sigma_1 = \frac{B_{21}B_{10} - B_{11}B_{20}}{B_{11}C_{21} - B_{21}C_{11}}.$$

Подстановка выражения для  $\sigma_1$  в (2.8) дает уравнение двух конических сечений на плоскости  $(\mu_2, \sigma)$ :

$$(2.9) \quad \begin{aligned} g_1(\mu_2, \sigma) &= C_{12}\sigma^2 + C_{11}\sigma + B_{12}\sigma\mu_2 + B_{11}\mu_2 + \bar{B}_{10} + O|\sigma|^3 = 0, \\ g_2(\mu_2, \sigma) &= C_{22}\sigma^2 + C_{21}\sigma + B_{22}\sigma\mu_2 + B_{21}\mu_2 + \bar{B}_{20} + O|\sigma|^3 = 0. \end{aligned}$$

Здесь  $\bar{B}_{10} = B_{10} + C_{13}\sigma_1^3$ ,  $\bar{B}_{20} = B_{20} + C_{23}\sigma_1^3$ .

Наличие двух независимых переменных  $\mu_2, \sigma$  гарантирует существование решений системы (2.9). Причем в зависимости от знака дискриминанта эквивалентного системе (2.9) кубического уравнения

$$G = G_3\sigma^3 + G_2\sigma^2 + G_1\sigma + G_0 = 0,$$

где  $G_3 = B_{12}C_{22} - B_{22}C_{12}$ ;  $G_2 = B_{11}C_{22} + B_{12}C_{21} - B_{21}C_{12} - B_{22}C_{11}$ ;  $G_1 = B_{11}C_{21} - B_{12}\bar{B}_{20} - B_{22}\bar{B}_{10} - B_{21}C_{11}$ ;  $G_0 = B_{11}\bar{B}_{20} - B_{21}\bar{B}_{10}$ , система (2.9) имеет помимо тривиального  $y(x) = 0$  три действительных решения или одно действительное и два комплексно-сопряженных. Если дискриминант равен нулю, то два или все три действительных корня совпадают. Существование действительных и комплексных решений объясняется тем, что под воздействием силы  $P$  стержень из состояния  $y(x) = 0$ ,  $x_0 \leq x \leq x_1$  будет деформироваться к новому состоянию равновесия, устойчивому или неустойчивому, совершая монотонное или колебательное движение. Это

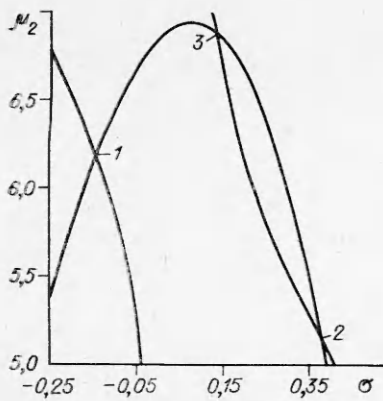


Рис. 2

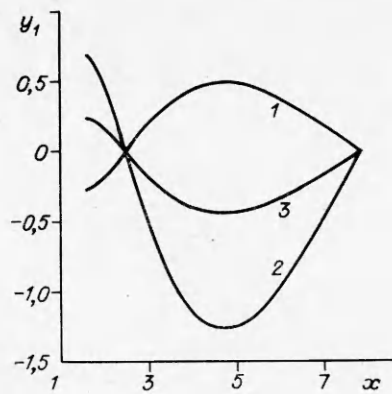


Рис. 3

объяснение становится достаточно очевидным, если рассмотреть параметр  $\mu$  как время в пространстве изображений после перевода соответствующей начально-краевой задачи с начальным условием  $y(x)=0$  в это пространство (например, преобразованием Лапласа).

Другой аспект существования множества решений  $(\mu_2^{(i)}, \sigma^{(i)})$  ( $i=1-3$ ) системы (2.9) заключается в том, что эти решения относятся к различным стержням или при прочих равных параметрах к стержням различной длины. Действительно, поскольку  $\lambda_1, \varepsilon$  одинаковы для всех решений  $(\mu_2^{(i)}, \sigma^{(i)})$  ( $i=1-3$ ), то из (2.2), (2.3) вытекает, что каждому решению (2.9) соответствуют присущее ему значение  $k^2 = \lambda_1^2 + 0,5\mu_2^{(i)}\varepsilon^2$  и, следовательно, длина.

Расчеты, проведенные при взятых в качестве примера исходных данных  $x_0 = 3\pi/2$ ,  $\nu = -2$ , показали, что система (2.9) имеет три действительных решения:  $(\mu_2^{(1)}; \sigma^{(1)}) = (6,192; -0,158)$ ,  $(\mu_2^{(2)}; \sigma^{(2)}) = (5,161; 0,375)$ ,  $(\mu_2^{(3)}; \sigma^{(3)}) = (6,880; 0,133)$  (рис. 2, точки пересечения конических сечений 1-3).

Для каждого из приведенных выше решений системы (2.9) был вычислен прогиб  $y_1(x)$  в диапазоне  $x = x_0 \pm \pi$ . Результаты вычислений изображены на рис. 3, где номера решений системы (2.9) и номера стержней совпадают. Результаты расчетов показывают, что для всех стержней прогиб равен нулю в точке (шарнир)  $x_2 = 0,787\pi$  ( $y(x_1) = 0$  по условию), так что, как отмечалось выше,  $|x_0 - x_2| \neq |x_1 - x_0|$ .

Анализ устойчивости решений уравнения (2.1) с условиями (1.3) сводится к определению собственных значений матрицы Якоби системы (2.9) при соответствующей ее параметризации и должен проводиться для каждого  $i$ -го стержня с учетом полученных значений  $(\mu_2^{(i)}, \sigma^{(i)})$ . Параметризация системы (2.9) заключается в представлении зависимостей  $g_i(\mu_2, \sigma)$  ( $i=1, 2$ ) в виде функций от параметра  $\mu$ . Комбинируя (2.3), (2.9) и используя условие нормировки  $\varepsilon = 1$ , можно записать систему (2.9) в виде

$$\begin{aligned} \bar{g}_1(\mu) &= 4\mu^2(C_{12}\sigma^2\mu_2^{-2} + C_{11}\sigma\mu_2^{-2} + B_{12}\sigma\mu_2^{-1} + \\ &+ B_{11}\mu_2^{-1} + \bar{B}_{10}\mu_2^{-2}) + O(|\sigma| + |\mu|)^3 = 0, \\ \bar{g}_2(\mu) &= 4\mu^2(C_{22}\sigma^2\mu_2^{-2} + C_{21}\sigma\mu_2^{-2} + B_{22}\sigma\mu_2^{-1} + B_{21}\mu_2^{-1} + \\ &+ \bar{B}_{20}\mu_2^{-2}) + O(|\sigma| + |\mu|)^3 = 0. \end{aligned}$$

Тогда решение (2.1) с условиями (1.3) устойчиво, если вещественные части собственных значений матрицы Якоби

$$M = |\varepsilon_{ij}|,$$

где  $\varepsilon_{11} = \partial \bar{g}_1(\mu) / \partial \mu_2^{-1}$ ;  $\varepsilon_{12} = \partial \bar{g}_1(\mu) / \partial (\sigma \mu_2^{-1})$ ;  $\varepsilon_{21} = \partial \bar{g}_2(\mu) / \partial \mu_2^{-1}$ ;  $\varepsilon_{22} =$

$= \partial \bar{g}_2(\mu) / \partial (\sigma \mu^{-1})$ , отрицательны. Учитывая, что в каждой точке  $(\mu_2^{(n)}, \sigma^{(n)})$  при малом  $\mu$  имеет место  $\det M = \mu^2 \det M(\mu_2^{(n)}, \sigma^{(n)}) + O|\mu|^3$ , условия устойчивости запишем в виде

$$(2.10) \quad \max(\mu \operatorname{Re} s_1^{(n)}, \mu \operatorname{Re} s_2^{(n)}) < 0, \\ |\operatorname{Re}(\varepsilon_{11}^{(n)} + \varepsilon_{22}^{(n)})| > |(\alpha_n^2 + \beta_n^2)^{0,25} \cos(0,5 \operatorname{arctg} \alpha_n^{-1} \beta_n)|.$$

Здесь  $s_1^{(n)}, s_2^{(n)}$  — собственные значения матрицы

$$M(\mu_2^{(n)}, \sigma^{(n)}), \varepsilon_{ij}^{(n)} = \varepsilon_{ij}(\mu_2^{(n)}, \sigma^{(n)}), \\ \alpha_n = (\operatorname{Re}(\varepsilon_{11}^{(n)} - \varepsilon_{22}^{(n)}))^2 - (\operatorname{Im}(\varepsilon_{11}^{(n)} - \varepsilon_{22}^{(n)}))^2 + \\ + 4 \operatorname{Re} \varepsilon_{12}^{(n)} \operatorname{Re} \varepsilon_{21}^{(n)} - 4 \operatorname{Im} \varepsilon_{12}^{(n)} \operatorname{Im} \varepsilon_{21}^{(n)}, \\ \beta_n = 2 \operatorname{Re}(\varepsilon_{11}^{(n)} - \varepsilon_{22}^{(n)}) \operatorname{Im}(\varepsilon_{11}^{(n)} - \varepsilon_{22}^{(n)}) + 4 \operatorname{Re} \varepsilon_{12}^{(n)} \operatorname{Im} \varepsilon_{21}^{(n)} + 4 \operatorname{Re} \varepsilon_{21}^{(n)} \operatorname{Im} \varepsilon_{12}^{(n)}.$$

Если собственные значения  $s_1^{(n)}, s_2^{(n)}$  вещественны, то запись условий (2.10) упрощается:

$$(2.11) \quad \max(\mu s_1^{(n)}, \mu s_2^{(n)}) < 0, \quad \det M(\mu_2^{(n)}, \sigma^{(n)}) > 0.$$

Заметим, что неравенства (2.11) справедливы тогда и только тогда, когда конические сечения (2.9) строго пересекаются на плоскости  $(\mu_2, \sigma)$ , т. е.

$$\det \begin{vmatrix} \partial g_1(\mu_2, \sigma) / \partial \mu_2 & \partial g_1(\mu_2, \sigma) / \partial \sigma \\ \partial g_2(\mu_2, \sigma) / \partial \mu_2 & \partial g_2(\mu_2, \sigma) / \partial \sigma \end{vmatrix} \neq 0.$$

Возвращаясь к комплексным значениям  $s_1^{(n)}, s_2^{(n)}$ , заметим, что стержень, нагруженный постоянной силой, не может представлять собой автоколебательную систему и, следовательно, вещественные части  $\operatorname{Re} s_1^{(n)}, \operatorname{Re} s_2^{(n)}$  не могут менять знак, переходя через нуль.

Расчет собственных значений матрицы Якоби для полученных выше решений  $(\mu_2^{(n)}, \sigma^{(n)})$  ( $n=1-3$ ) дал следующие результаты:

$$(s_1^{(1)}; s_2^{(1)}) = (-9,504 + 7,684i; -9,504 - 7,684i), \\ (s_1^{(2)}; s_2^{(2)}) = (2,852 + 10,200i; 2,852 - 10,200i), \\ (s_1^{(3)}; s_2^{(3)}) = (12,873; -6,005),$$

откуда вытекает, что первый стержень устойчив при  $\mu > 0$ , второй — при  $\mu < 0$ , а третий неустойчив при любом  $\mu$ .

Эти результаты требуют некоторого объяснения. Начнем с того, что, как видно из (2.2), значению  $\mu=0$  соответствует критическая сила  $P_* = P(k_*^2)$  такая, что при  $\mu > 0$   $P > P_*$  и наоборот. Тогда устойчивость второго стержня при  $P < P_*$  отвечает общим представлениям о нагруженных стержнях; условие устойчивости первого стержня  $P > P_*$  не означает, что  $P$  может быть сколь угодно большим (условия (2.10), (2.11) справедливы для малых  $\mu$ ), а свидетельствует о том, что при  $P < P_*$  устойчивое положение стержня не удовлетворяет  $dy(x_0)/dx = 0$ . Это условие будет достигнуто в другой точке  $x$  или во всех точках  $x$  в случае тривиального решения. Что касается третьего стержня, то его деформированное состояние с  $dy(x_0)/dx = 0$  неустойчиво при любом  $P$ , т. е. для стержня с данной длиной и конфигурацией невозможно силой  $P$  добиться устойчивого деформированного состояния, при котором максимальный прогиб достигался бы в точке  $x_0$ .

3. Рассмотрим стержень, схема которого приведена на рис. 4. Пусть сила  $P$  зависит от прогиба:

$$(3.1) \quad P = P_0(1 - \beta \Delta(y)).$$

Здесь  $P_0, \beta$  — постоянные;

$$\Delta(y) = \pi - \int_{x_0}^{x_1} (1 - (dy/dx)^2)^{0.5} dx.$$

Под воздействием силы  $P$ , приложенной к  $x_1$ , другой конец стержня  $x_0$  может перемещаться в перпендикулярном к оси стержня направлении, преодолевая сопротивление пружины с жесткостью  $\alpha$ . С увеличением прогиба  $P$  убывает и под действием пружины стержень будет стремиться к первоначальному положению. При такой постановке существуют все предпосылки для возникновения незатухающих периодических колебаний — предельных циклов.

Уравнение (1.1) после разложения по степеням  $y, dy/dx$  в точке  $(y, dy/dx) = (0, 0)$  приобретает вид

$$(3.2) \quad L_k y + \sum_{n=2}^{\infty} c_n y ((dy/dx)^{n-1} - \beta \int_{x_0}^{x_1} (dy/dx)^{n-1} dx) = 0, \quad k^2 = \frac{P_0 l^2}{EI \pi^2}.$$

Способ крепления стержня позволяет записать граничные условия

$$(3.3) \quad y(x_1) = 0, \quad dy(x_0)/dx + \alpha y(x_0) = 0,$$

приводящие к другим по сравнению с (1.3) соотношениям для собственных значений оператора  $L_k$ . Теперь они являются решениями уравнения

$$\det |a_{ij}| = 0,$$

где

$$\begin{aligned} a_{11} &= \sqrt{x_1} I_\omega(2\omega \lambda x_1^{1/2\omega}), \quad a_{12} = \sqrt{x_1} N_\omega(2\omega \lambda x_1^{1/2\omega}); \\ a_{21} &= \left( \frac{1}{\sqrt{x_0}} + \alpha \sqrt{x_0} \right) I_\omega(2\omega \lambda x_0^{1/2\omega}) - \lambda x_0^{(1-\omega)/2\omega} I_{\omega+1}(2\omega \lambda x_0^{1/2\omega}); \\ a_{22} &= \left( \frac{1}{\sqrt{x_0}} + \alpha \sqrt{x_0} \right) N_\omega(2\omega \lambda x_0^{1/2\omega}) - \lambda x_0^{(1-\omega)/2\omega} N_{\omega+1}(2\omega \lambda x_0^{1/2\omega}), \end{aligned}$$

при  $-\infty < \nu < -2, -2 < \nu < \infty$  и уравнения

$$(1 + 2\alpha x_0) \operatorname{tg}(\lambda \ln(x_1/x_0)) = 2\lambda$$

при  $\nu = -2$ .

Дальнейшая процедура анализа устойчивости решений (3.2) аналогична проведенной в п. 2 для стержня, нагруженного постоянной силой. Поэтому, используя обозначения

$$\begin{aligned} \Delta_i(y) &= \int_{x_0}^{x_1} dy_i/dx dx, \quad \Delta_{ij}(y) = \int_{x_0}^{x_1} dy_i/dx dy_j/dx dx, \\ \Delta_{ij} &= \int_{x_0}^{x_1} d\varphi_{i1}(x)/dx d\varphi_{j1}(x)/dx dx, \end{aligned}$$

укажем лишь на встречающиеся при анализе отличия. Это касается матричных дифференциальных операторов

$$\begin{aligned} \mathbf{B}(y_1, y_2) &= \frac{c_2 \lambda_1^2}{2} \left( y_1 \left( \frac{dy_2}{dx} - \beta \Delta_2(y) \right) + y_2 \left( \frac{dy_1}{dx} - \beta \Delta_1(y) \right) \right), \\ \mathbf{C}(y_1, y_2, y_3) &= \frac{c_3 \lambda_1^2}{3} \left( y_1 \left( \frac{dy_2}{dx} \frac{dy_3}{dx} - \beta \Delta_{23}(y) \right) + \right. \\ &\quad \left. + y_2 \left( \frac{dy_1}{dx} \frac{dy_3}{dx} - \beta \Delta_{13}(y) \right) + y_3 \left( \frac{dy_1}{dx} \frac{dy_2}{dx} - \beta \Delta_{12}(y) \right) \right), \end{aligned}$$

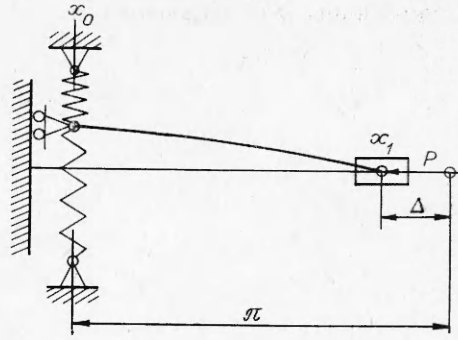


Рис. 4

приводящих к коэффициентам

$$C_{i3} = \lambda_1^2 (\beta \Delta_{22} \langle x^v \varphi_{21}(x), \varphi_{i1}^*(x) \rangle - \langle x^v \varphi_{21}(x) (d\varphi_{21}(x)/dx)^2, \varphi_{i1}^*(x) \rangle),$$

$$C_{i2} = \lambda_1^2 (\beta \langle x^v (\Delta_{22} \varphi_{11}(x) + 2\Delta_{12} \varphi_{21}(x)), \varphi_{i1}^*(x) \rangle - \langle x^v (\varphi_{11}(x) (d\varphi_{21}(x)/dx)^2 +$$

$$+ 2\varphi_{21}(x) d\varphi_{11}(x)/dx d\varphi_{21}(x)/dx), \varphi_{i1}^*(x) \rangle),$$

$$C_{i1} = \lambda_1^2 (\beta \langle x^v (2\Delta_{12} \varphi_{11}(x) + \Delta_{11} \varphi_{21}(x)), \varphi_{i1}^*(x) \rangle -$$

$$- \langle x^v (2\varphi_{11}(x) d\varphi_{11}(x)/dx d\varphi_{21}(x)/dx + \varphi_{21}(x) (d\varphi_{11}(x)/dx)^2), \varphi_{i1}^*(x) \rangle),$$

$$B_{i0} = \lambda_1^2 (\beta \langle x^v \Delta_{11} \varphi_{11}(x), \varphi_{i1}^*(x) \rangle - \langle x^v \varphi_{11}(x) (d\varphi_{11}(x)/dx)^2, \varphi_{i1}^*(x) \rangle), \quad i = 1, 2.$$

Остальные коэффициенты, входящие в систему (2.9), остались без изменения, хотя, разумеется, они неявным образом зависят от  $\alpha$  через  $\lambda_1$ .

Продолжая анализ устойчивости, так же как в п. 2, можно найти решения уравнения  $G=0$ . Зависимость  $G=G(\sigma, \beta)$ , полученная при  $v=0, x_0=0, \alpha=1$ , приведена на рис. 5. При этих же исходных данных и фиксированных значениях  $\beta$  были определены решения системы (2.9) и собственные значения матриц Якоби, отвечающих этим решениям. В результате расчетов получено:

а) при  $\beta = 0,550$

$$(\mu_2^{(1)}; \sigma^{(1)}) = (-1,496; 0,123), (s_1^{(1)}; s_2^{(1)}) =$$

$$= (2,536; -0,350), (\mu_2^{(2)}; \sigma^{(2)}) = (-1,136 - 0,411i; 0,352 + 1,663i),$$

$$(s_1^{(2)}; s_2^{(2)}) = (3,175 - 0,612i; 0,0439 + 0,285i)$$

(третье решение  $(\mu_2^{(3)}; \sigma^{(3)})$ , комплексно-сопряженное со вторым, не приводится);

б) при  $\beta = 0,612$

$$(\mu_2^{(1)}; \sigma^{(1)}) = (-1,759; 0,168), (s_1^{(1)}; s_2^{(1)}) = (2,927; -0,269),$$

$$(\mu_2^{(2)}; \sigma^{(2)}) = (-1,423 + 0,273i; 0,0856 - 0,998i),$$

$$(s_1^{(2)}; s_2^{(2)}) = (3,483 + 0,410i; 0 - 0,252i);$$

в) при  $\beta = 0,700$

$$(\mu_2^{(1)}; \sigma^{(1)}) = (-2,256; 0,372), (s_1^{(1)}; s_2^{(1)}) = (3,431; -0,254),$$

$$(\mu_2^{(2)}; \sigma^{(2)}) = (-1,887 + 0,0982i; -0,114 - 0,481i),$$

$$(s_1^{(2)}; s_2^{(2)}) = (3,809 + 0,188i; -0,0164 - 0,272i).$$

Как следует из расчетов, при всех указанных значениях  $\beta$  действительные решения, соответствующие состояниям стационарного равнове-

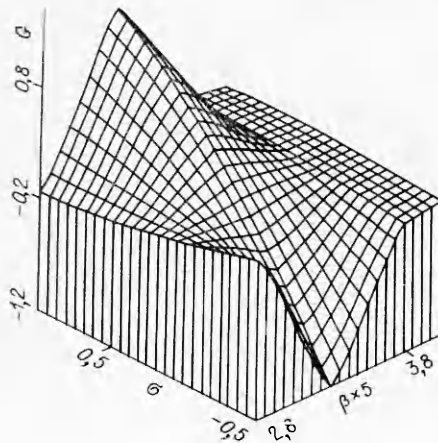


Рис. 5

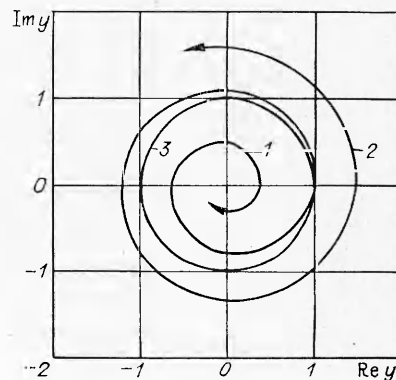


Рис. 6



сия стержней, неустойчивы при любом  $\mu$ . Комплексно-сопряженные решения, отвечающие колебательным режимам стержней, в случае а устойчивы при  $\mu < 0$  (рис. 6, кривая 1), в случае в неустойчивы при любом  $\mu$ , а при  $\mu < 0$  фазовая траектория имеет вид кривой 2. В случае б колебательный режим представляет собой предельный цикл при  $\mu < 0$  (кривая 3). Здесь, так же как и в п. 2, в каждом из случаев а — в различным решениям системы (2.9) соответствуют стержни разной длины. При комплексно-сопряженных решениях длины стержней совпадают.

#### ЛИТЕРАТУРА

1. Боднар Т. А. Устойчивость эйлера стержня. Нелинейный анализ // ПМТФ.— 1993.— № 2.
2. Вольмир А. С. Устойчивость деформируемых систем.— М.: Наука, 1967.
3. Йосе Ж., Джозеф Д. Элементарная теория устойчивости и бифуркаций.— М.: Мир, 1983.
4. Камке Э. Справочник по обыкновенным дифференциальным уравнениям.— М.: Физматгиз, 1961.

г. Бийск

Поступила 7/II 1992 г.

УДК 677.017

Б. С. Резников, И. Ю. Шалагинова

### СТРУКТУРНЫЙ ПОДХОД К ОПИСАНИЮ ПОЛЗУЧЕСТИ МЯГКИХ КОМПОЗИТОВ ВОЛОКНИСТОЙ ОСНОВЫ

Клееные волокнистые материалы, являющиеся мягкими композитами, находят широкое применение в промышленности. Поэтому проблема прогнозирования их физико-механических свойств актуальна.

В настоящее время при описании деформирования и разрушения нетканых клееных материалов в основном используется феноменологический подход [1—3], который не позволяет в полной мере учитывать структуру материала, физико-механические свойства волокон и связующего, пористость и т. д., а тем самым вести целенаправленный поиск новых материалов с заданными эксплуатационными свойствами. В данной работе на основе структурной модели [4] исследуется ползучесть мягкого композита с учетом линейных вязкоупругих свойств связующего и волокон.

При одноосном растяжении вдоль оси  $Oy$  напряжением  $\sigma$  в указанной механической модели волокнистого композита возникает двухосное напряженное состояние, для которого в [4] выведены уравнения статического равновесия

$$(1) \quad \sigma(1 - \Omega_x) = \sigma_z \Omega_z \cos^2 \alpha + \sigma_y \Omega_y, \quad \sigma_x \Omega_x + \sigma_z \Omega_z \sin^2 \alpha = 0$$

и условия совместности деформаций (в случае, когда они считаются малыми)

$$(2) \quad \begin{aligned} (1 + \varepsilon_z)^2 &= (1 + \varepsilon_x)^2 \sin^2 \alpha_0 + (1 + \varepsilon_y)^2 \cos^2 \alpha_0, \\ (1 + \varepsilon_y) \operatorname{tg} \alpha &= (1 + \varepsilon_x) \operatorname{tg} \alpha_0 \quad \forall \sigma \geq 0, \quad \forall t \geq 0. \end{aligned}$$

В соотношениях (1), (2) использованы обозначения из [4], укажем только, что здесь и в дальнейшем все величины с индексами  $x$ ,  $y$  относятся к связующему, а с  $z$  — к волокнам,  $t$  — время.

Чтобы замкнуть систему уравнений (1), (2), будем считать, что волокна и связующее подчиняются трехэлементной реологической модели вида

$$(3) \quad \frac{d}{dt} \sigma_c + \nu_c \sigma_c = B_c \left( \frac{d}{dt} \varepsilon_c + \mu_c \varepsilon_c \right),$$